

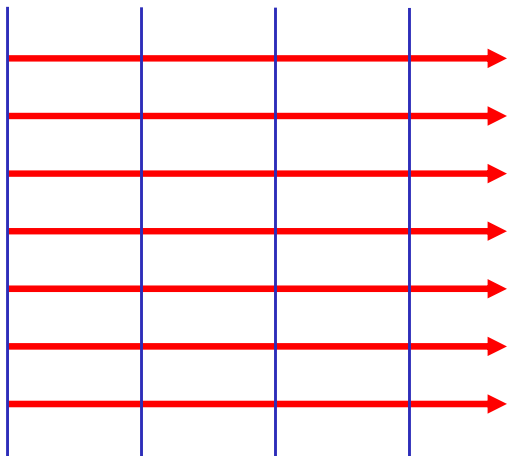
Ottica Geometrica

Ipotesi dell'ottica geometrica:

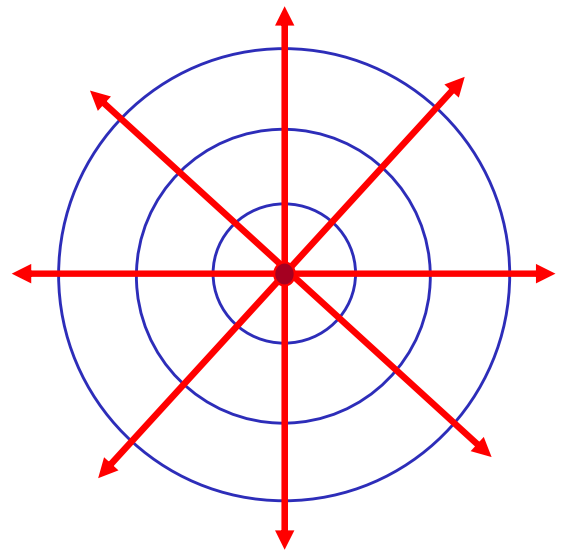
In un mezzo trasparente, omogeneo e isotropo, la radiazione elettromagnetica si propaga senza deviare per effetto della presenza di ostacoli.

⇒ Si trascurano gli effetti di diffrazione.

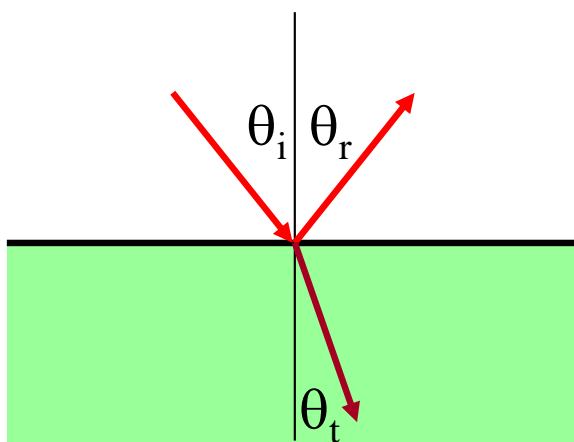
⇒ Si ha una **propagazione a raggi**, che in presenza di mezzi materiali è determinata esclusivamente dalle leggi di Snell.



onda piana



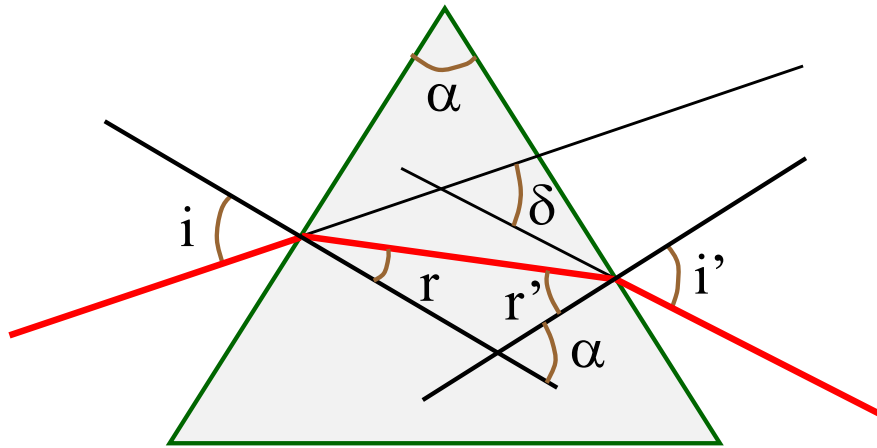
onda sferica



$$\theta_i = \theta_r$$

$$n_1 \sin \theta_i = n_2 \sin \theta_t$$

Prisma



Le relazioni tra gli angoli del prisma sono:

$$\sin i = n \sin r \quad \sin i' = n \sin r'$$

$$r + r' = \alpha \quad \delta = (i - r) + (i' - r') = i + i' - \alpha$$

dove:

α = angolo di apertura

δ = angolo di deviazione

Si ha la **deviazione minima** δ_{\min} quando:

$$\frac{d\delta}{di} = 0 \Rightarrow \frac{d\delta}{di} = 1 + \frac{di'}{di} = 0 \Rightarrow \frac{di'}{di} = -1$$

Dalle relazioni di Snell:

$$\cos i \, di = n \cos r \, dr \quad \cos i' \, di' = n \cos r' \, dr'$$

Inoltre:

$$r + r' = \alpha \Rightarrow dr = -dr'$$

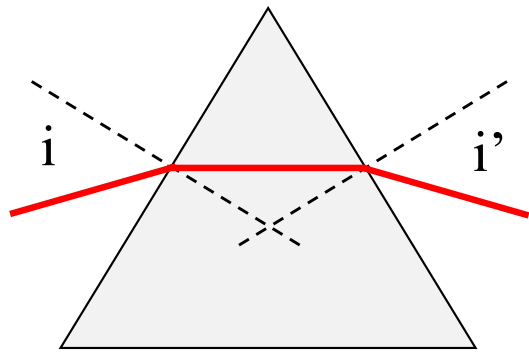
$$\Rightarrow \frac{di'}{di} = -\frac{\cos i \cos r'}{\cos i' \cos r} = -1$$

$$\Rightarrow \boxed{i = i' \quad r = r'}$$

A deviazione minima:

$$i = i'$$

$$r = r'$$



$$r = \frac{\alpha}{2} \quad 2i = \delta_{\min} + \alpha$$

$$\Rightarrow \boxed{n = \frac{\sin i}{\sin r} = \frac{\sin[(\delta_{\min} + \alpha)/2]}{\sin(\alpha/2)}}$$

Misura sperimentale di n:

- 1) Si determina sperimentalmente δ_{\min} per una data lunghezza d'onda;
- 2) Da δ_{\min} si calcola n .

In generale l'indice di rifrazione del prisma dipende da λ .
Dalla formula dei dielettrici, trascurando l'assorbimento Γ :

$$n^2 = 1 + \frac{k}{\omega_0^2 - \omega^2} \quad (\text{dove: } \gamma = 0)$$

Assumendo $\omega \ll \omega_0$:

$$n = \left(1 + \frac{k}{\omega_0^2 - \omega^2} \right)^{\frac{1}{2}} \cong 1 + \frac{k/2}{\omega_0^2 - \omega^2} = 1 + \frac{k}{2\omega_0^2} \frac{1}{1 - \omega^2/\omega_0^2} \cong$$

$$\cong 1 + \frac{k}{2\omega_0^2} \left(1 + \frac{\omega^2}{\omega_0^2} \right) = 1 + \frac{k}{2\omega_0^2} \left(1 + \frac{4\pi^2 c^2}{\omega_0^2 \lambda^2} \right)$$

$$\boxed{n = k_1 + \frac{k_2}{\lambda^2}}$$

Formula di Cauchy

La **dispersione D** è la variazione della deviazione minima con la lunghezza d'onda:

$$D = \frac{d\delta}{d\lambda} = \frac{d\delta}{dn} \frac{dn}{d\lambda}$$

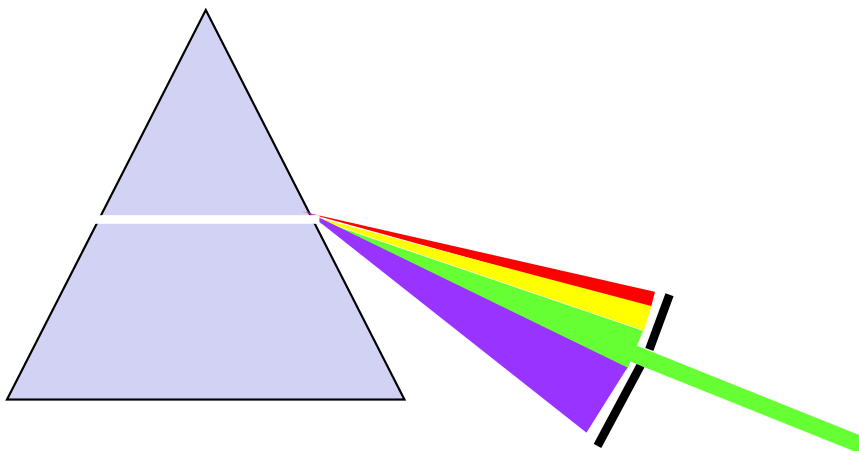
A deviazione minima:

$$\frac{dn}{d\delta} = \frac{d}{d\delta} \left(\frac{\sin[(\delta_{\min} + \alpha)/2]}{\sin(\alpha/2)} \right) = \frac{\cos[(\delta_{\min} + \alpha)/2]}{2\sin(\alpha/2)}$$

$$\frac{dn}{d\lambda} = \frac{d}{d\lambda} \left(k_1 + \frac{k_2}{\lambda^2} \right) = -\frac{2k_2}{\lambda^3}$$

$$\Rightarrow D = \frac{d\delta}{d\lambda} = -\frac{2\sin(\alpha/2)}{\cos[(\delta_{\min} + \alpha)/2]} \frac{2k_2}{\lambda^3} \propto \frac{1}{\lambda^3}$$

Il violetto risulta più deviato del rosso.

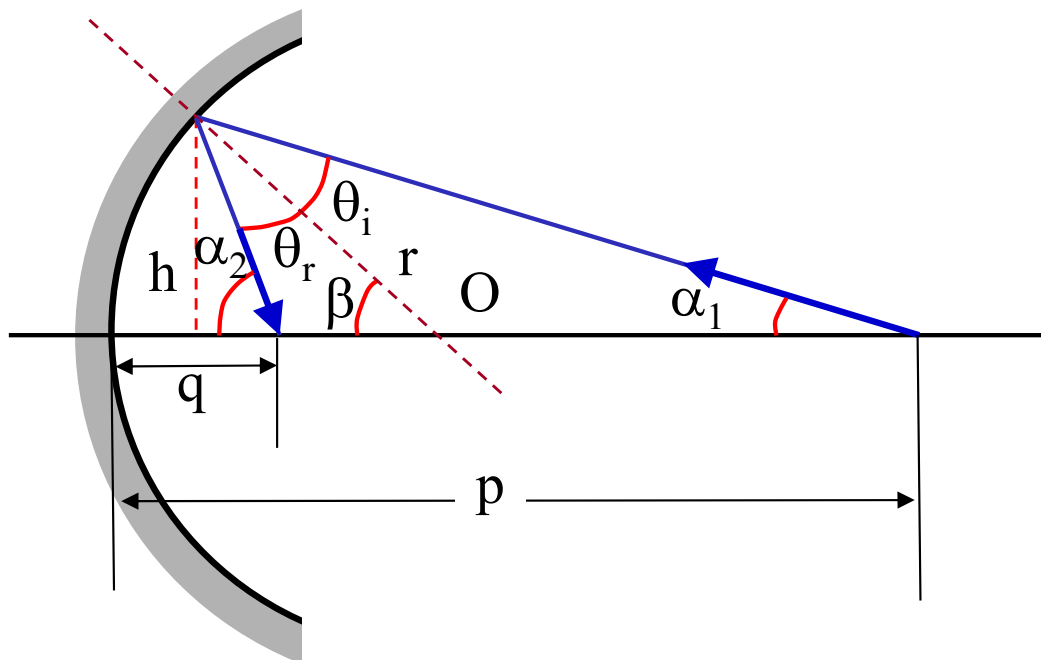


Principio alla base del funzionamento dello **spettrometro** e del **monocromatore a prisma**.

Componenti ottici basati sulla riflessione

Specchio sferico

- Superficie sferica ideale totalmente riflettente.
- Approssimazione dell'ottica geometrica.
- **Approssimazione parassiale:** i raggi che incidono sulla superficie sono concentrati in una piccola zona intorno all'asse.



$$\beta = \theta_i + \alpha_1 \quad \alpha_2 = \beta + \theta_r \quad \Rightarrow \quad \alpha_1 + \alpha_2 = 2\beta$$

Nella approssimazione parassiale, approssimando gli angoli alle tangenti:

$$\alpha_1 \cong \tan \alpha_1 = \frac{h}{p} \quad \alpha_2 \cong \tan \alpha_2 = \frac{h}{q} \quad \beta \cong \tan \beta = \frac{h}{r}$$

$$\Rightarrow \boxed{\frac{1}{p} + \frac{1}{q} = \frac{2}{r}}$$

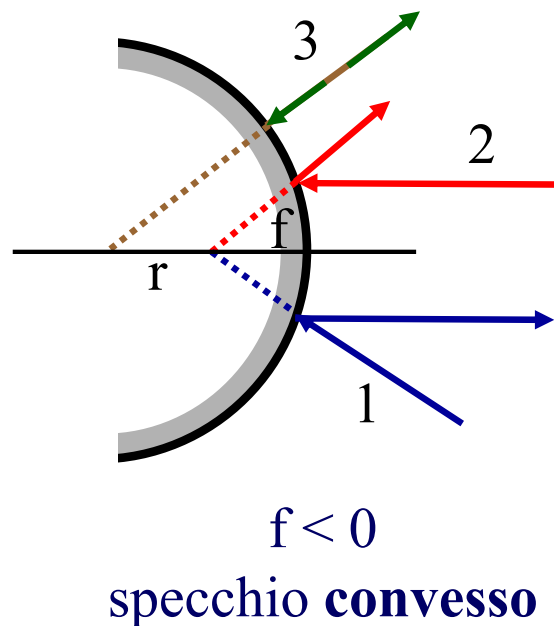
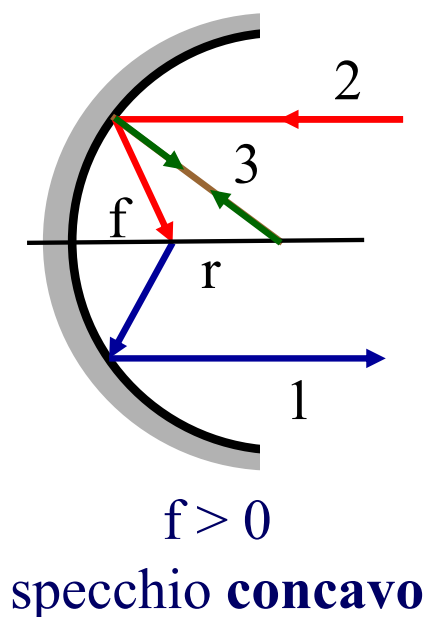
Legge degli specchi

$$f = \frac{r}{2} = \text{Distanza focale dello specchio}$$

$$\boxed{\frac{1}{p} + \frac{1}{q} = \frac{1}{f}}$$

Raggi principali sono quelli per cui:

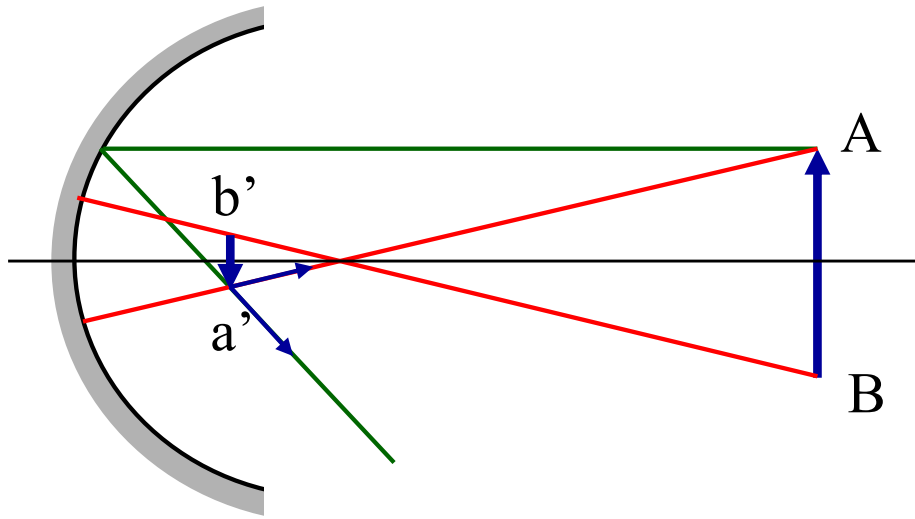
- 1: $p = f \rightarrow q = \infty$
- 2: $p = \infty \rightarrow q = f$
- 3: $p = 2f \rightarrow q = 2f = r$



Per convenzione: $r > 0$ per lo **specchio concavo**,
 $r < 0$ per lo **specchio convesso**.

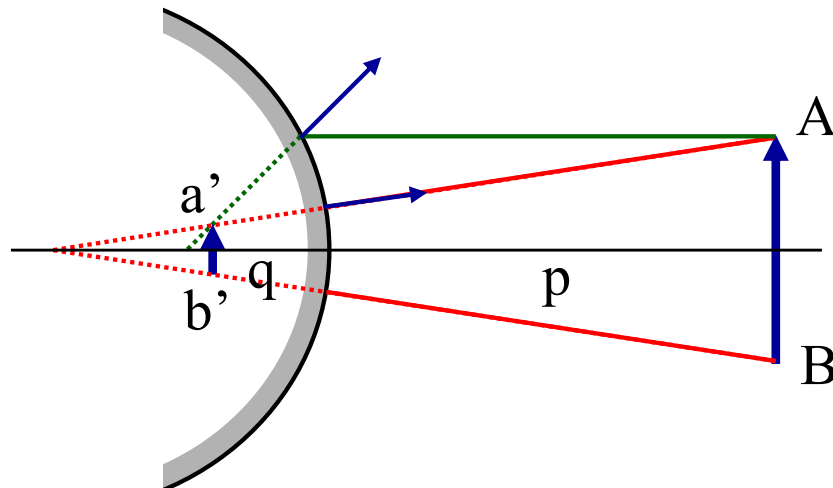
Specchio concavo: i raggi convergono fisicamente nel fuoco o nel centro.

Specchio convesso: i raggi sembrano provenire dal fuoco o dal centro, che sono posti dietro lo specchio.



Lo specchio concavo produce:

- un'**immagine reale e capovolta** per $p > f$
- un'**immagine virtuale e diritta** per $p < f$.



Lo specchio convesso produce un'**immagine virtuale e diritta**.

Nell'ottica geometrica, l'immagine di un oggetto è la replica identica, a parte un fattore di scala detto

ingrandimento M:

$$M = \frac{a'b'}{AB} = \frac{q}{p}$$

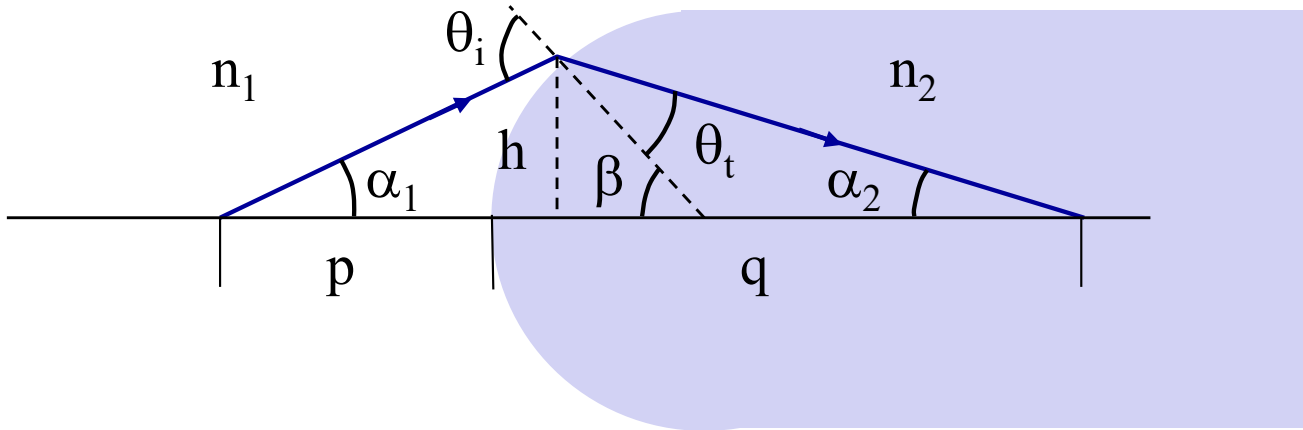
$$[a'b'/AB = (r-q)/(p-r)]$$

Si ricava r dalla legge degli specchi e si sostituisce]

Componenti ottici basati sulla rifrazione

Diottro sferico

Rifrazione su una superficie sferica.



$$\beta = \theta_t + \alpha_2 \quad \theta_i = \beta + \alpha_1 \quad n_1 \sin \theta_i = n_2 \sin \theta_t$$

In approssimazione parassiale, per piccoli angoli:

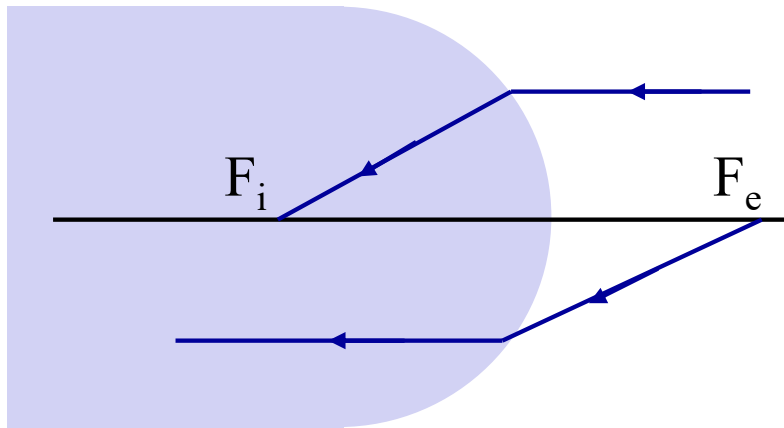
$$n_1 \theta_i \cong n_2 \theta_t \quad \alpha_1 \cong \frac{h}{p} \quad \alpha_2 \cong \frac{h}{q} \quad \beta \cong \frac{h}{r}$$

$$n_2 (\beta - \alpha_2) = n_1 (\beta + \alpha_1)$$

$$\Rightarrow \boxed{\frac{n_1}{p} + \frac{n_2}{q} = \frac{n_2 - n_1}{r}}$$

Formula del diottro sferico

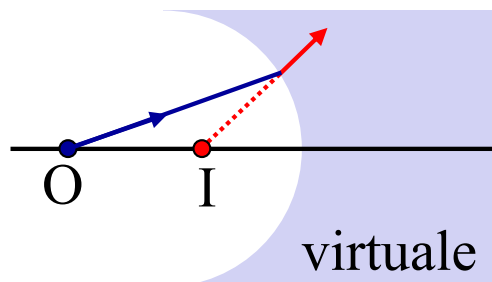
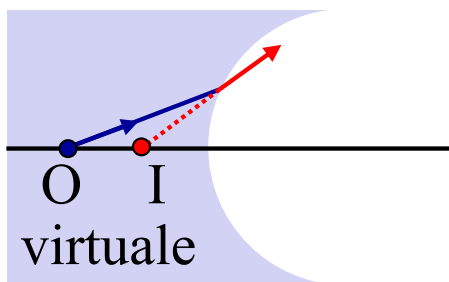
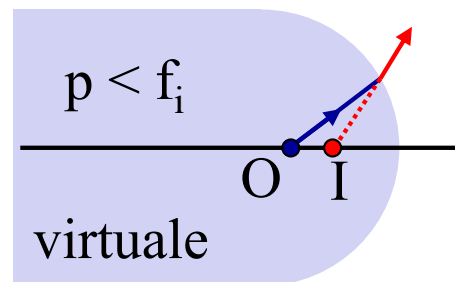
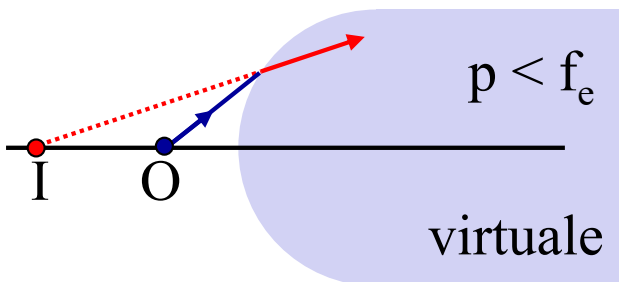
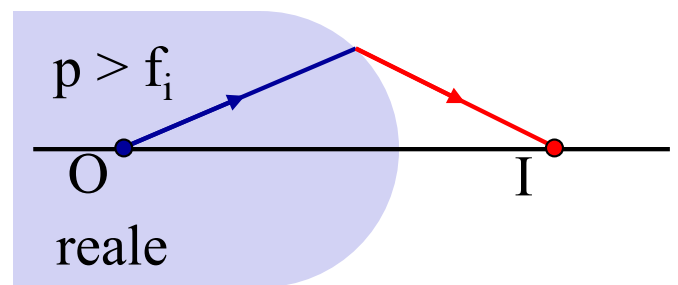
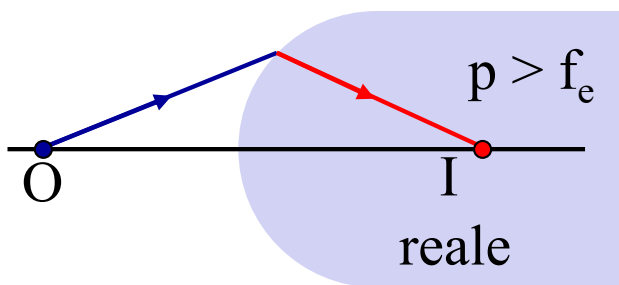
A differenza dello specchio, il diottro ha due punti focali:



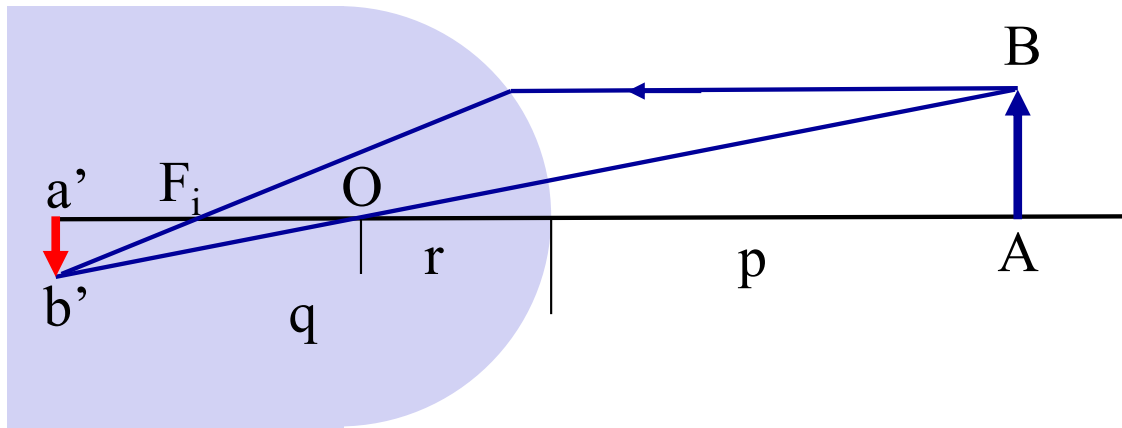
$$q = \infty \quad \frac{n_1}{f_e} = \frac{n_2 - n_1}{r}$$

$$p = \infty \quad \frac{n_2}{f_i} = \frac{n_2 - n_1}{r}$$

a) Formazione di immagini reali e virtuali con diottri positivi (convessi) e negativi (concavi).



b) Formazione di immagini di oggetti estesi



Ricavando r dalla legge del diottro:

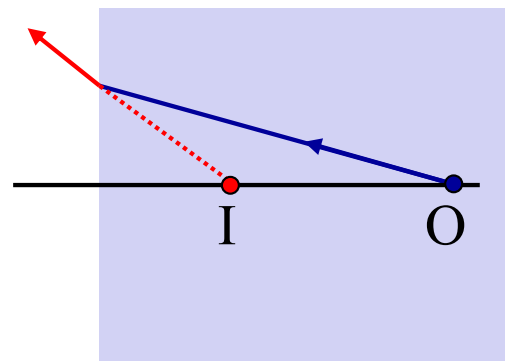
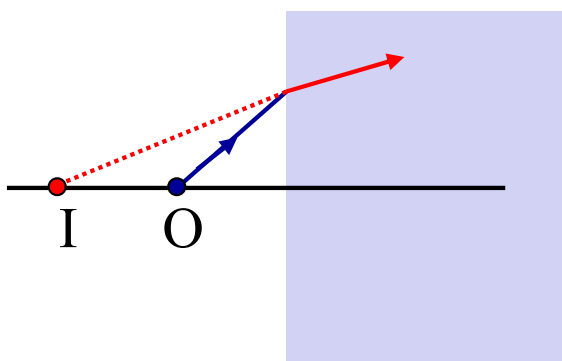
$$r = \frac{(n_2 - n_1) pq}{n_1 q + n_2 p}$$

$$\Rightarrow M = \frac{a'b'}{AB} = \frac{q - r}{p + r} = \frac{n_1 q}{n_2 p}$$

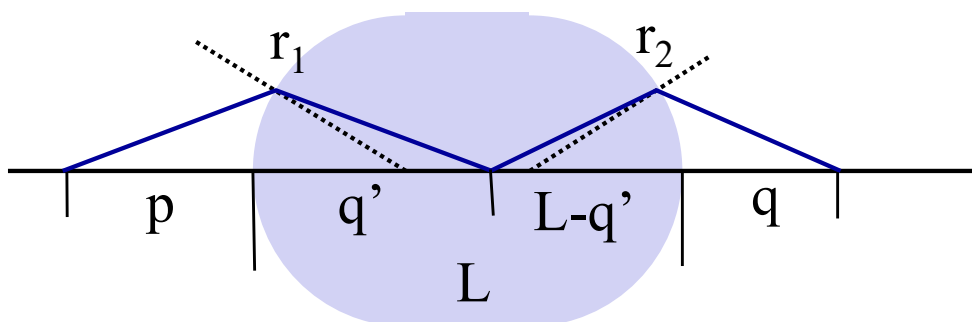
Diottro piano ($r \rightarrow \infty$)

$$r \rightarrow \infty \Rightarrow M = -1$$

\Rightarrow Oggetto e immagine sono sempre di verso concorde (immagine virtuale e diritta).



Lente sottile



Combinando le equazioni di due diottri:

$$\frac{n_1}{p} + \frac{n_2}{q'} = \frac{n_2 - n_1}{r_1}$$

$$\frac{n_2}{L - q'} + \frac{n_1}{q} = \frac{n_1 - n_2}{r_2}$$

Consideriamo una **lente sottile**, dove: $L \ll p, q, q'$:

$$\frac{n_1}{p} + \frac{n_1}{q} = \frac{n_2 - n_1}{r_1} + \frac{n_1 - n_2}{r_2}$$

Se la lente è in aria: $n_1 = 1$

$$\boxed{\frac{1}{p} + \frac{1}{q} = (n - 1) \left(\frac{1}{r_1} - \frac{1}{r_2} \right)}$$

La lente ha due fuochi uguali e in posizione simmetrica:

$$p = \infty \quad \frac{1}{f} = (n - 1) \left(\frac{1}{r_1} - \frac{1}{r_2} \right)$$

$$q = \infty \quad \frac{1}{f} = (n - 1) \left(\frac{1}{r_1} - \frac{1}{r_2} \right)$$

Se f è la lunghezza focale:

$$\frac{1}{p} + \frac{1}{q} = \frac{1}{f}$$

Legge delle lenti sottili

Si hanno diversi tipi di lenti:

- **biconvessa**

$$r_1 > 0 \quad r_2 < 0 \quad f > 0$$



- **pianoconvessa**

$$r_1 = \infty \quad r_2 < 0 \quad f > 0$$



- **biconcava**

$$r_1 < 0 \quad r_2 > 0 \quad f < 0$$



- **pianoconcava**

$$r_1 = \infty \quad r_2 > 0 \quad f < 0$$



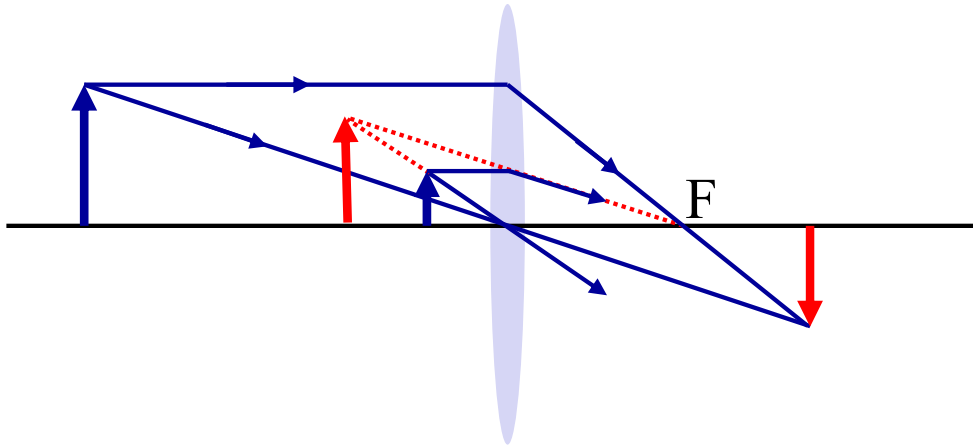
- **menisco**

$$r_1 > 0 \quad r_2 > 0$$
$$f > 0 \quad \text{o} \quad f < 0 \quad (\text{dipende da } r_1 \text{ e } r_2)$$

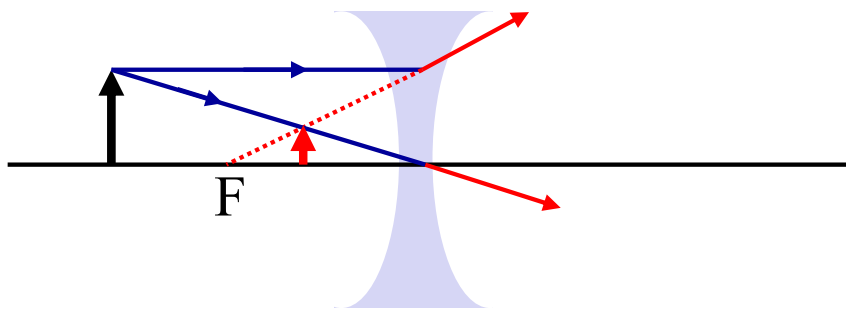


Lente convergente ($f > 0$):

- immagine reale e capovolta, se $p > f$,
- immagine virtuale e diritta, se $p < f$.



Lente divergente ($f < 0$): l'immagine è sempre virtuale.



L'**ingrandimento** dell'immagine è sempre:

$$M = \frac{q}{p}$$

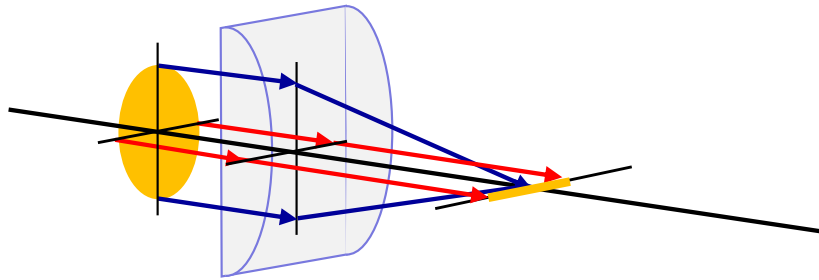
Componendo più lenti sottili a contatto si ottiene una *lente sottile equivalente* la cui focale risulta:

$$\frac{1}{f} = \sum_i \frac{1}{f_i}$$

dove le focali vanno sommate con il loro segno.

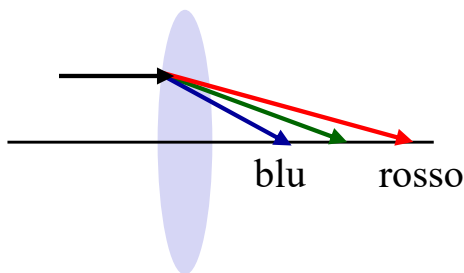
Caso limite: $r_x = \infty \Rightarrow$ **Lente cilindrica**

Trasforma un cerchio in una linea.

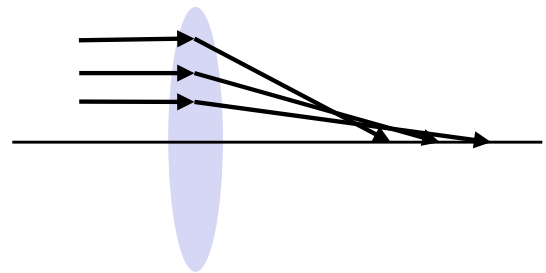


Aberrazioni

- **cromatica**
 - n funzione di λ
- **sferica**
 - non in approssimazione parassiale
 - lente non sottile
- **astigmatica**
 - curvatura diversa secondo due assi



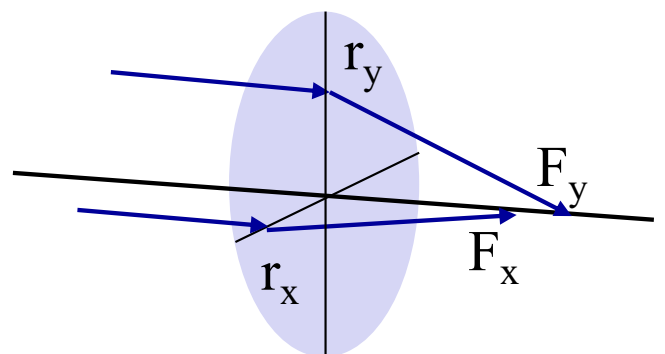
cromatica



sferica

Aberrazione astigmatica:

- Direzioni corrispondenti a curvature diverse vanno a fuoco a distanze diverse.
- Si osserva per oggetti posti fuori dall'asse ottico.

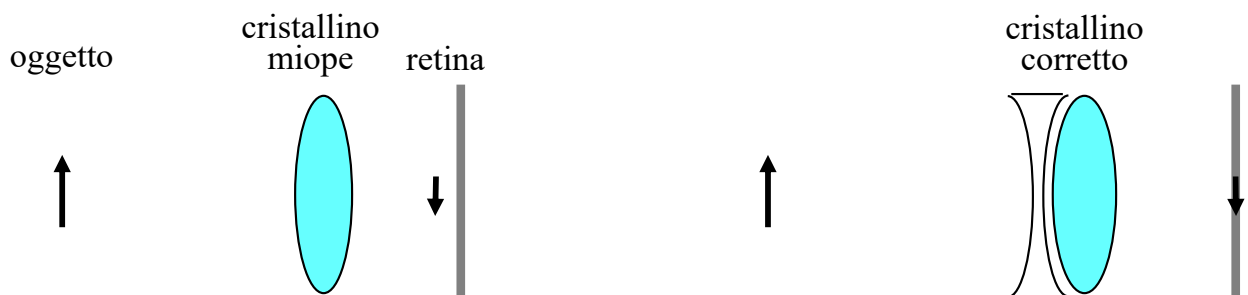


Occhio umano

- Il **cristallino** è una lente biconvessa, convergente, con:
 - $n \cong 1.4-1.45$
 - Tipicamente: $r_1 \cong 10$ mm e $r_2 \cong 6$ mm.
- Ha focale variabile grazie ai muscoli ciliari che ne variano i raggi di curvatura.
- La deformabilità consente l'**accomodamento**, cioè la formazione di immagini reali e capovolte sulla retina per oggetti posti a distanze che variano tra:
 - **Punto prossimo**: $d_P \cong 15-25$ cm
 - **Punto remoto**: $d_R \rightarrow \infty$.
- **Ipermetrope** (presbite):
 - $d_P > 25$ cm, cristallino poco convergente
 - Richiede una correzione con lente convergente



- **Miope**:
 - $d_R < \infty$, cristallino troppo convergente
 - Richiede una correzione con lente divergente.



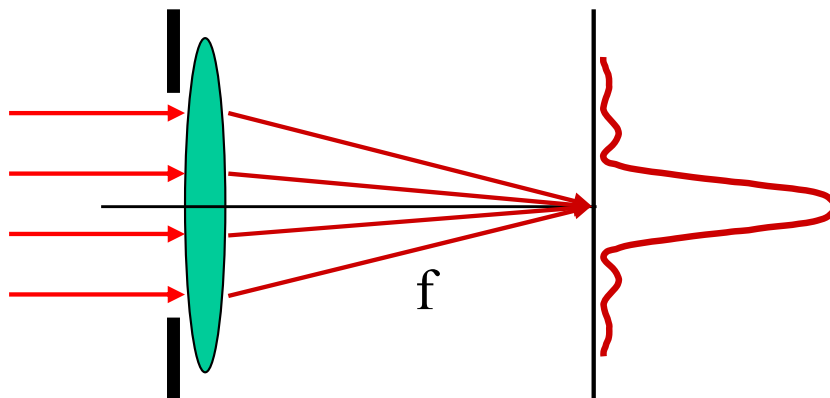
Effetti di diffrazione

- Una lente fa convergere nel punto di fuoco un fascio di raggi paralleli.

⇒ La lente forma nel punto di fuoco l'immagine di una sorgente all'infinito.

- La figura di diffrazione di Fraunhofer si osserva nella approssimazione che l'apertura sia a distanza infinita (raggi paralleli).

⇒ Ponendo un'apertura davanti a una lente, nel fuoco della lente si osserva la figura di diffrazione di Fraunhofer dell'apertura.



- L'effetto di diffrazione è quello di trasformare il punto focale dell'ottica geometrica in una figura di diffrazione.

⇒ Tenendo conto degli effetti di diffrazione intrinseci nel fatto che la lente ha una apertura finita, **l'immagine che si ottiene con una lente non sarà mai una replica perfetta dell'oggetto.**

- Un sistema ottico al cui interno si assumono le leggi dell'ottica geometrica e i cui effetti di diffrazione sono determinati dalle aperture del sistema si dice **limitato per diffrazione.**